

## 调制与软解调



### Outline

1. 常用的调制方式
2. 软解调



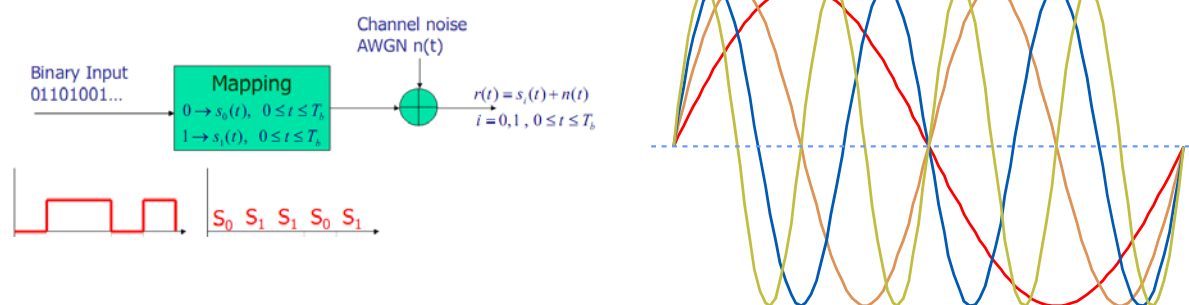
## 通原I中讲的调制

### ❖ 基带调制

- 信号所占频带从直流或低频开始，例如同轴电缆和双绞线等有线信道，传送脉冲波形（调幅度PAM、位置PPM、宽度PDM）

### ❖ 频带调制

- 通过正弦型载波调制成带通信号，例如无线通信、光通信



通信系统仿真及实现



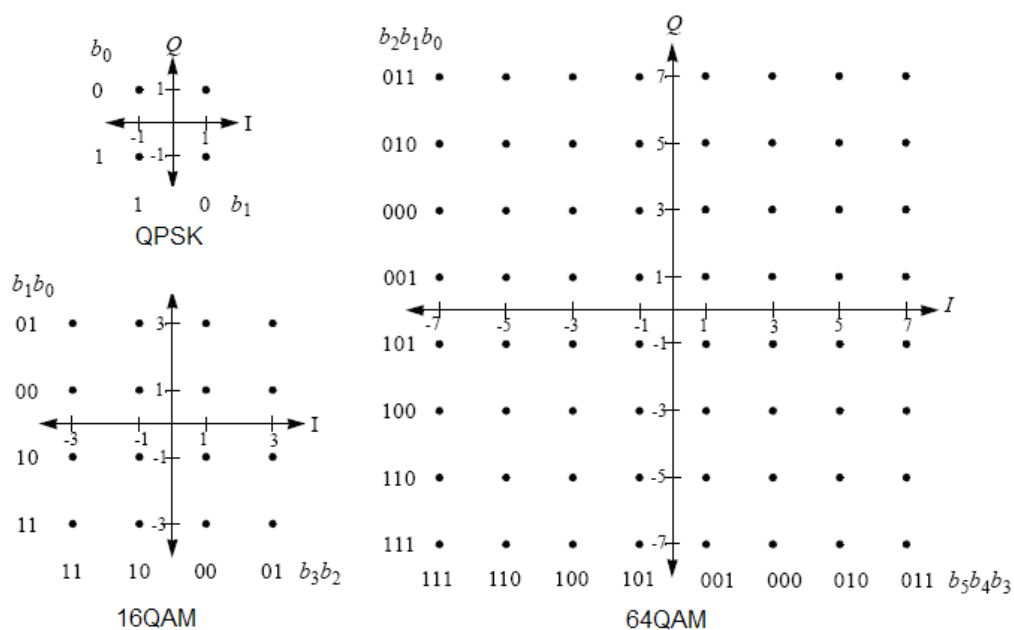
### ❖ 现实多数无线通信系统都采用频带调制

- BPSK、QPSK、16QAM、64QAM、256QAM (WiFi、3G、4G...)
- GMSK (GSM)
- DPSK、DQPSK (光传输系统、802.11b、802.11ad)
- GFSK (蓝牙)
- OQPSK (zigbee)
- 8PSK、16APSK、32APSK (DVB-S2)

思考： 各种系统选择调制方式时要考虑哪些因素？



## LTE的调制方式



通信系统仿真及实现



## Outline

1. 常用的调制方式

2. 软解调

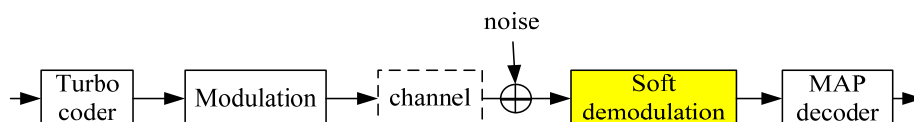
通信系统仿真及实现

## ❖ 本课中讲的是相关解调后的判决问题

- 硬解调(hard demodulation): 硬判决
- 软解调(soft demodulation): 软判决

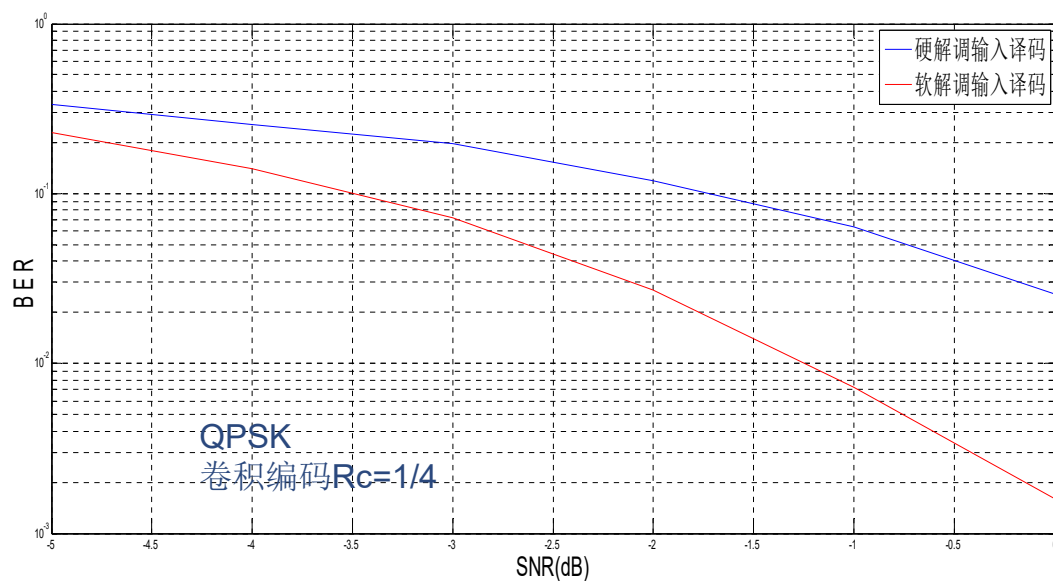
## ❖ 关于译码

- 软译码一定需要解调输出的是软判决的信息



## ❖ 长啥样？

- 硬判决后：1001011...., (或者把前面的0换成-1也行，反正二元)
- 软判决后： -1.8 -1.3 1.5 -1.6 -1.1 -2.0 10 3.4 8.3 2.5





## 软信息的定义

### ❖ SISO系统模型

- AWGN 信道  $y = x + n$
- Rayleigh信道  $y = hx + n$

总的噪声功率包括实虚部

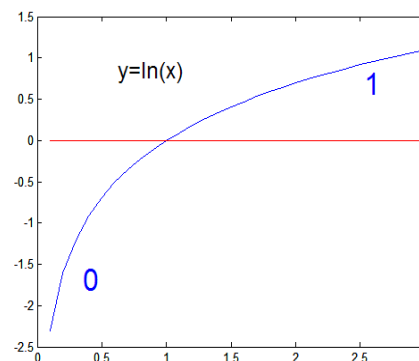
### ❖ 复高斯白噪的PDF

$$f(n) = \frac{1}{\pi\sigma^2} \exp\left(-\frac{1}{\sigma^2}|n|^2\right) = \frac{1}{\pi\sigma^2} \exp\left(-\frac{1}{\sigma^2}|y - hx|^2\right)$$

### ❖ 每个bit的软信息

- 符号中每个比特的Logarithm Likelihood Ratio (LLR)

$$\Lambda_{MAP}(k) = \log \frac{\Pr(c(k)=0|y)}{\Pr(c(k)=1|y)}$$



通信系统仿真及实现

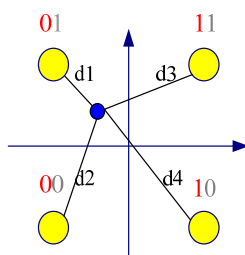


## 软信息的定义

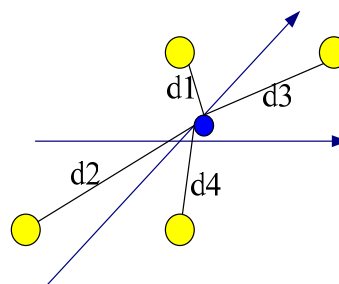
$$y = hx + n$$

$x$ 是调制后的离散的有限的复数符号,  
 $c(k)$  是某个接收符号中的第 $k$ 个比特

$$\Lambda_{MAP}(k) = \log \frac{\Pr(c(k)=0|y)}{\Pr(c(k)=1|y)} = \log \frac{\sum_{\hat{x}=S_0^{(k)}} f(y - h\hat{x})}{\sum_{\hat{x}=S_1^{(k)}} f(y - h\hat{x})} = \log \frac{\sum_{\hat{x}=S_0^{(k)}} \exp\left(-\frac{1}{\sigma^2}|y - h\hat{x}|^2\right)}{\sum_{\hat{x}=S_1^{(k)}} \exp\left(-\frac{1}{\sigma^2}|y - h\hat{x}|^2\right)}$$



AWGN 信道



Rayleigh信道

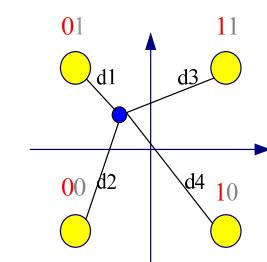
通信系统仿真及实现

BUPT

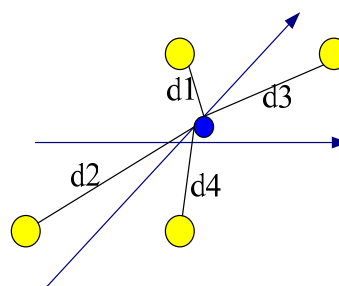
### ❖ MAP (maximum a posteriori)

$$\Lambda_{MAP}(k) = \log \frac{\Pr(c(k)=1|y)}{\Pr(c(k)=0|y)} = \log \frac{\sum_{\hat{x}=S_1^{(k)}} f(y-h\hat{x})}{\sum_{\hat{x}=S_0^{(k)}} f(y-h\hat{x})} = \log \frac{\sum_{\hat{x}=S_1^{(k)}} \exp(-\frac{1}{\sigma^2}|y-h\hat{x}|^2)}{\sum_{\hat{x}=S_0^{(k)}} \exp(-\frac{1}{\sigma^2}|y-h\hat{x}|^2)}$$

$$= \log \frac{\exp(-\frac{1}{\sigma^2}|d_3|^2) + \exp(-\frac{1}{\sigma^2}|d_4|^2)}{\exp(-\frac{1}{\sigma^2}|d_1|^2) + \exp(-\frac{1}{\sigma^2}|d_2|^2)}$$



AWGN channel



Rayleigh channel

通信系统仿真及实现

### ❖ 简化计算

$$\Lambda_{MAX}(k) = \log \frac{\sum_{\hat{x}=S_1^{(k)}} \exp(-\frac{1}{\sigma^2}|y-h\hat{x}|^2)}{\sum_{\hat{x}=S_0^{(k)}} \exp(-\frac{1}{\sigma^2}|y-h\hat{x}|^2)} \approx \max_{\hat{x}=S_1^{(k)}} (-\frac{|y-h\hat{x}|^2}{\sigma^2}) - \max_{\hat{x}=S_0^{(k)}} (-\frac{|y-h\hat{x}|^2}{\sigma^2})$$

$$= \frac{|h|^2}{\sigma^2} (\min_{\hat{x}=S_0^{(k)}} \left| \frac{y}{h} - \hat{x} \right|^2 - \min_{\hat{x}=S_1^{(k)}} \left| \frac{y}{h} - \hat{x} \right|^2)$$

### ❖ 指数求和的简化算法 (Jacobian logarithmic relationship)

$$\ln(\sum_{k=1}^n e^{\lambda_k}) = J(\lambda_n, J(J(\lambda_{n-1}, L \ J(\lambda_3, J(J(\lambda_2, \lambda_1))L)))$$

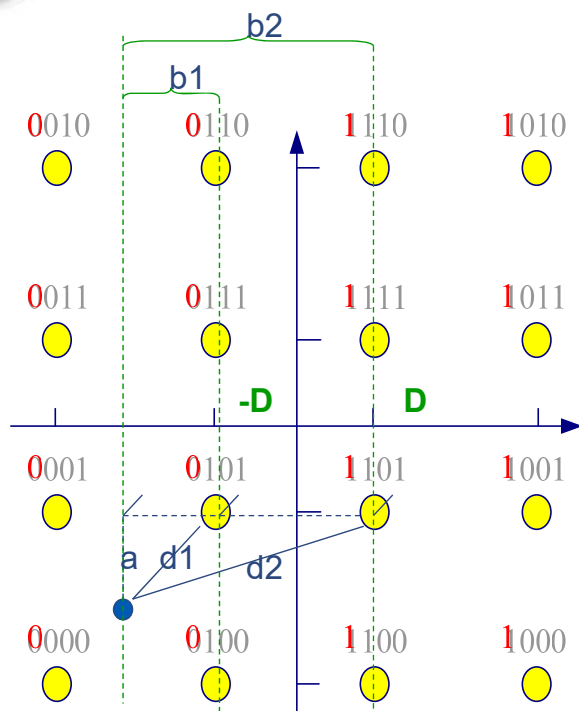
$$J(\lambda_2, \lambda_1) = \ln(e^{\lambda_1} + e^{\lambda_2}) = \max(\lambda_1, \lambda_2) + \ln(1 + e^{-|\lambda_1 - \lambda_2|})$$

通信系统仿真及实现





## 举例-16QAM的第1个bit



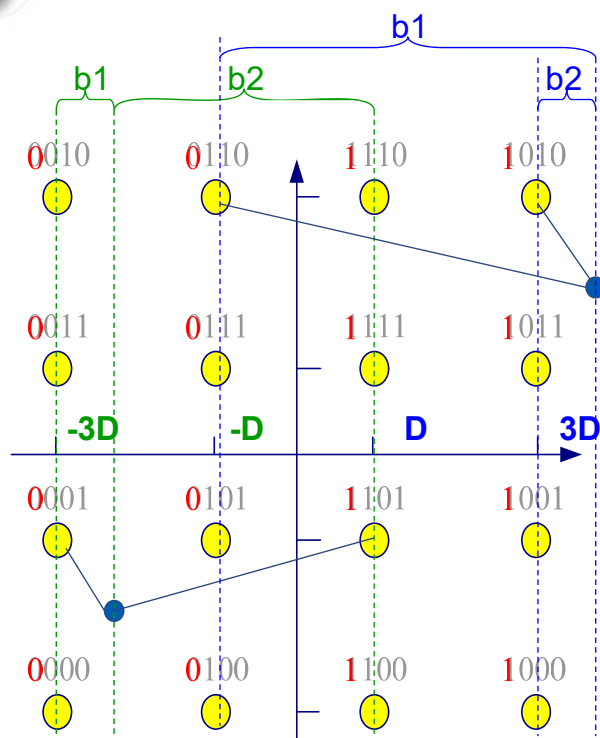
$$z = \frac{y}{h}$$

if  $|R(z)| \leq 2D$

$$\begin{aligned} \Lambda'_{MAX}(1) &= \min_{a_1 \in S_0^{(1)}} |z - a_1|^2 - \min_{a_1 \in S_1^{(1)}} |z - a_1|^2 \\ &= |R(z) - R(a^{(2)})|^2 - |R(z) - R(a^{(3)})|^2 \\ &= |d_1|^2 - |d_2|^2 = (|a|^2 + |b_1|^2) - (|a|^2 + |b_2|^2) \\ &= |b_1|^2 - |b_2|^2 \\ &= |R(z) - (-D)|^2 - |R(z) - D|^2 = 4R(z)D \end{aligned}$$



## 举例-16QAM的第1个bit



if  $R(z) < -2D$

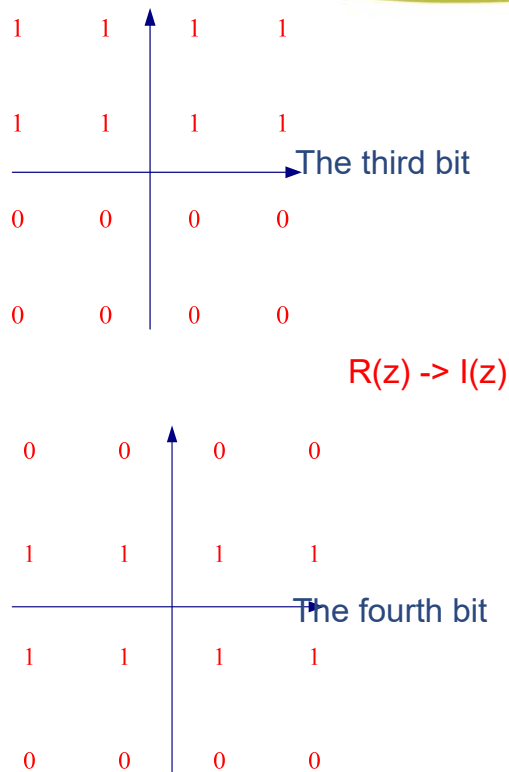
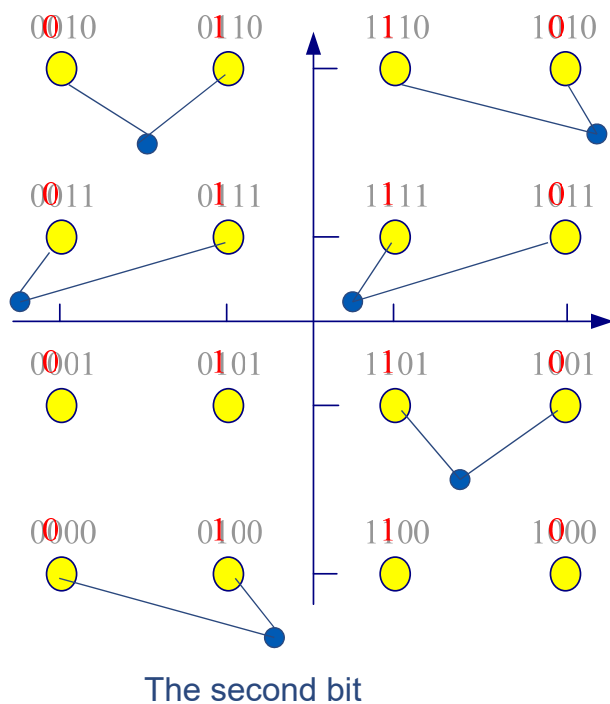
$$\begin{aligned} \Lambda'_{MAX}(2) &= \min_{a_2 \in S_0^{(2)}} |z - a_2|^2 - \min_{a_2 \in S_1^{(2)}} |z - a_2|^2 \\ &= |R(z) - R(a^{(1)})|^2 - |R(z) - R(a^{(3)})|^2 \\ &= |R(z) - (-3D)|^2 - |R(z) - D|^2 = 8R(z)D + 8D^2 \end{aligned}$$

if  $R(z) > 2D$

$$\begin{aligned} \Lambda'_{MAX}(2) &= \min_{a_2 \in S_0^{(2)}} |z - a_2|^2 - \min_{a_2 \in S_1^{(2)}} |z - a_2|^2 \\ &= |R(z) - R(a^{(2)})|^2 - |R(z) - R(a^{(4)})|^2 \\ &= |R(z) - (-D)|^2 - |R(z) - 3D|^2 = 8R(z)D - 8D^2 \end{aligned}$$



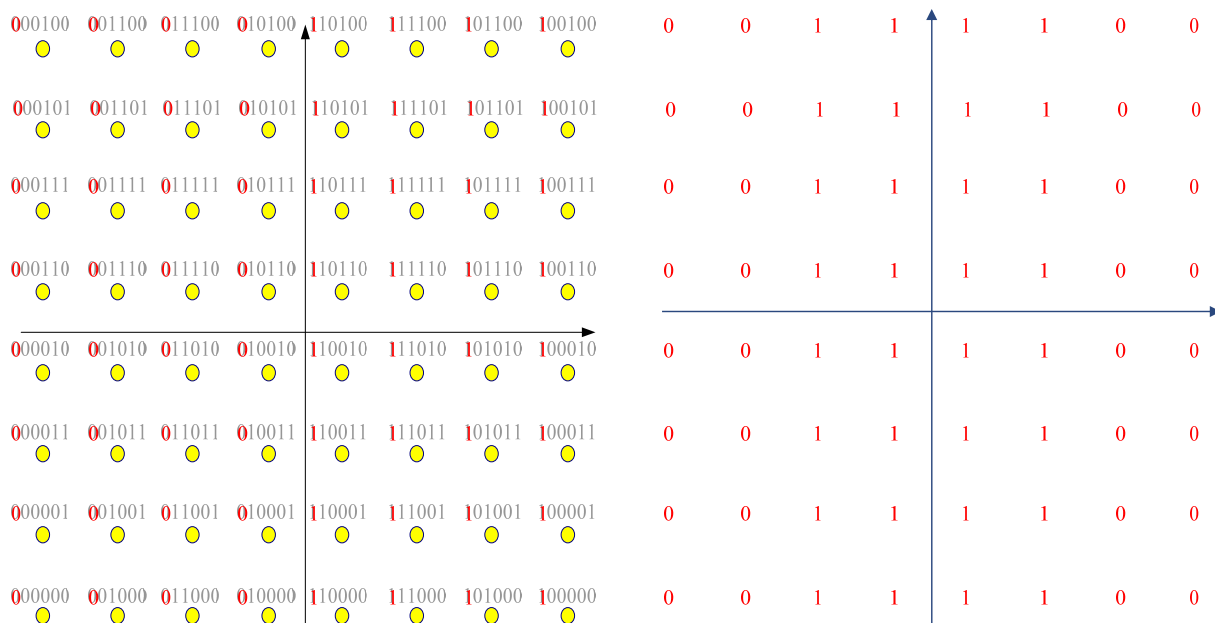
## 举例-16QAM的其他bits



通信系统仿真及实现



## 思考-64QAM







## 总结：格雷映射的QAM调制MAX解调对应表

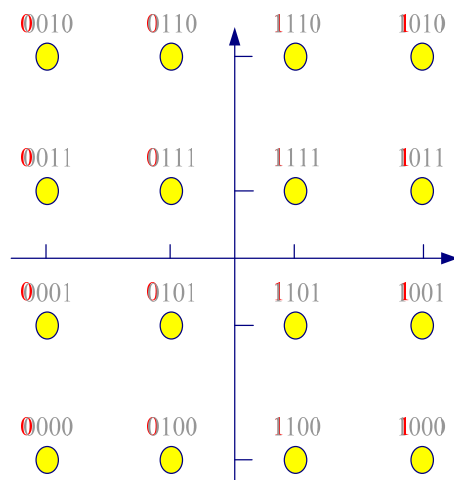
MAX	k	$\Lambda_{MAX}(k) \rightarrow \times \frac{1}{\sigma^2}$	Range	D
BPSK	1	$4R(y)D$	all $R(y)$	1
QPSK	1	$4R(y)D$	all $R(y)$	$1/\sqrt{2}$
16QAM	1	$4R(y)D$	$ R(y)  \leq 2D$	$\frac{1}{\sqrt{10}}$
		$8R(y)D - 8\text{sgn} R(y) D^2$	$ R(y)  > 2D$	
	2	$8D^2 - 4 R(y) D$	all $R(y)$	
64QAM	1	$4R(y)D$	$ R(y)  \leq 2D$	$\frac{1}{\sqrt{42}}$
		$8R(y)D - 8\text{sgn} R(y) D^2$	$2D <  R(y)  \leq 4D$	
		$12R(y)D - 24\text{sgn} R(y) D^2$	$4D <  R(y)  \leq 6D$	
		$16R(y)D - 48\text{sgn} R(y) D^2$	$ R(y)  > 6D$	
	2	$24D^2 - 8 R(y) D$	$ R(y)  \leq 2D$	
		$16D^2 - 4 R(y) D$	$2D <  R(y)  \leq 6D$	
		$40D^2 - 8 R(y) D$	$ R(y)  > 6D$	
	3	$4 R(y) D - 8D^2$	$ R(y)  \leq 4D$	
		$24D^2 - 4 R(y) D$	$ R(y)  > 4D$	

通信系统仿真及实现

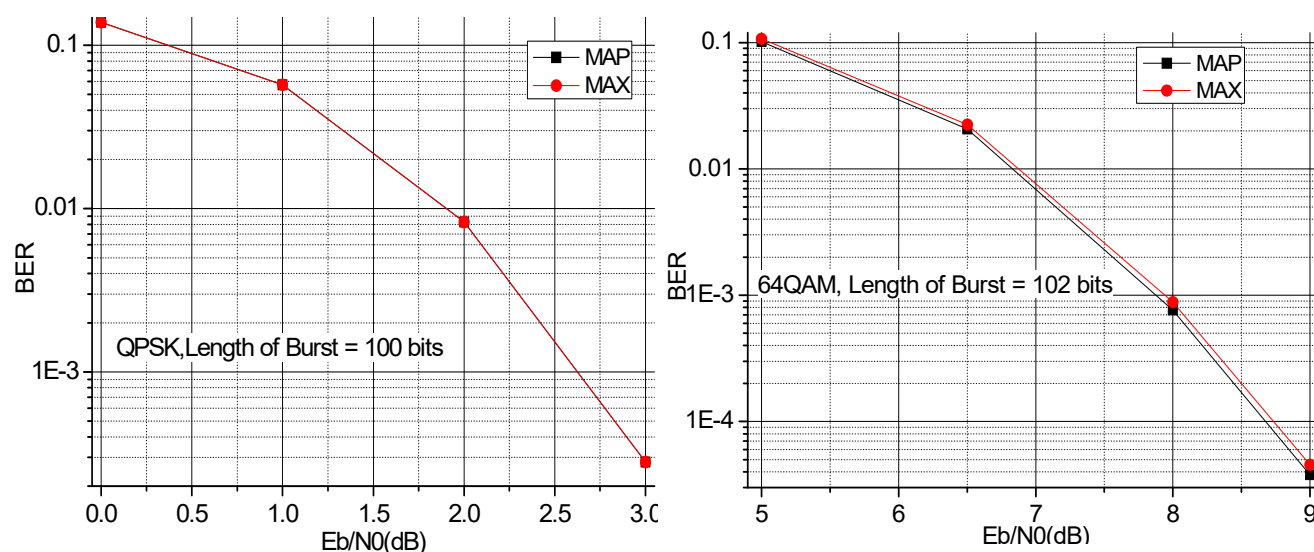


❖ 可以再化简，LLR的计算不用太追求精确

MAX -no partition	k	$\Lambda_{MAX}(k) \rightarrow \times \frac{1}{\sigma^2}$	Range	D
BPSK	1	$4R(y)D$	all $R(y)$	1
QPSK	1	$4R(y)D$	all $R(y)$	$1/\sqrt{2}$
16QAM	1	<u><math>4R(y)D</math></u>	all $R(y)$	$\frac{1}{\sqrt{10}}$
	2	$8D^2 - 4 R(y) D$	all $R(y)$	
64QAM	1	$4R(y)D$	all $R(y)$	$\frac{1}{\sqrt{42}}$
	2	$16D^2 - 4 R(y) D$	all $R(y)$	
	3	$4 R(y) D - 8D^2$	$ R(y)  \leq 4D$	
		$24D^2 - 4 R(y) D$	$ R(y)  > 4D$	



通信系统仿真及实现



！这里横轴是 $E_b/N_0$ ,代码中是SNR

通信系统仿真及实现

BUPT



## 值得注意

- ❖ 本章所给表格仅用于如图示映射的调制方案中，不同协议中可能对16QAM的映射定义有不同。
- ❖ 要注意送入解调函数的数据是否进行了信道均衡、是否星座映射图归一？
- ❖ MAP vs.MAX
  - 根据定义可知，在所有比特的软信息前统一乘以一个常数的话，对于MAX解调不影响译码结果，但对MAP而言有影响。
- ❖ 编码调制后不一定所有的符号都经历相同的信道，所以译码前要注意计算LLR时的信道衰落 $h$ 和噪声功率取值是否合理。

程序示例: main-c4-NoCoder.m

通信系统仿真及实现

[illegible]

# Thank You !